# L'eau : Comment la détecter

## **Etude de cas : Comment détecter la pluie sur un pare-brise de voiture**

Merci à Bruno Milanetto (professeur au lycée Condorcet de Lens) pour la suggestion de cette idée et à Jean-Luc Trioux (préparateur au lycée Pasteur de Somain) pour la réalisation mécanique du projet.

- 1- Observation d'un dispositif existant (Citroën Xsara Picasso)
- → Sur le parking du lycée :





Avec une pissette d'eau, on constate que les essuie-glaces se mettent en mouvement lorsque l'eau passe sur une zone spécifique du pare-brise.

Dans ce détecteur (situé **sous** le pare-brise) on observe des composants qui ressemblent à des Leds.

Conclusion : la détection se ferait de façon optique...mais on ne voit pas de lumière : cela pourrait-être de l'infrarouge

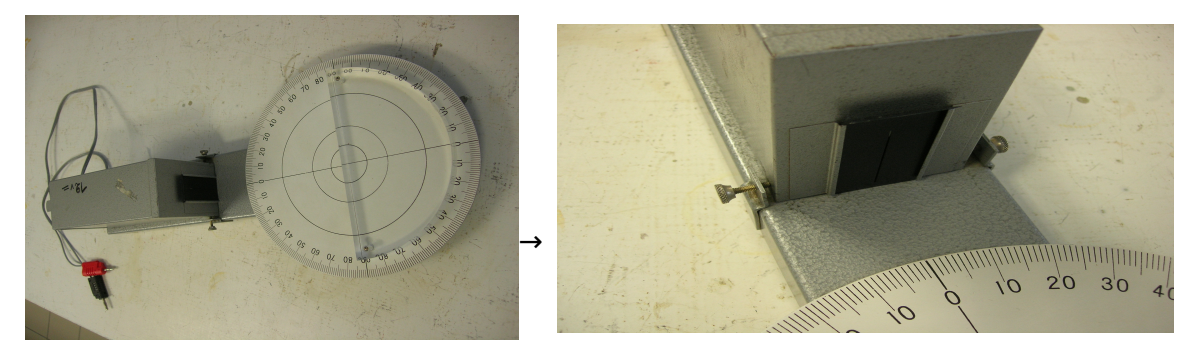
→ Retour en classe : on imagine comment pourrait être ce dispositif :



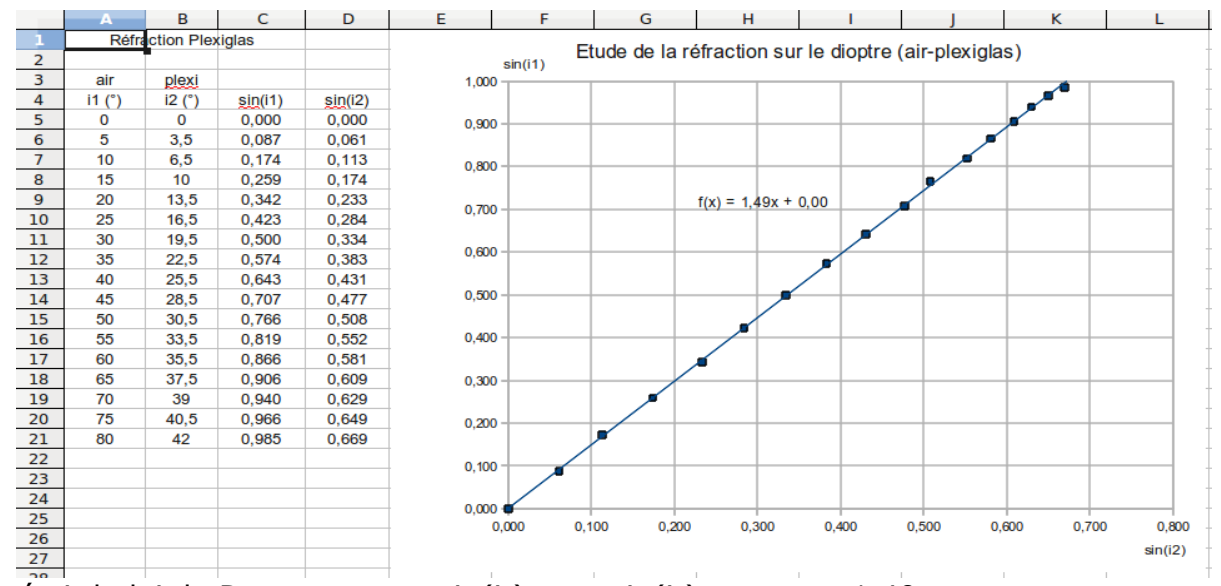
- on arrive à faire ressortir la notion de *réfraction*...

## 2- Etude de la réfraction sur le dioptre air-plexiglas :

→ Les élèves travaillent avec le matériel suivant non réglè. (On est en SL, à eux de régler convenablement le faisceau) :



Etude au tableur (conversions d'angles en radians ; calculs de sinus ; tracé de graphe ; courbe de tendance ; mise en forme)



on écrit la loi de Descartes :  $n_1.\sin(i_1) = n_2.\sin(i_2)$  et  $n_{plexi} = 1,49$ 

### 3- Etude de la réfraction sur le dioptre plexiglas-air :

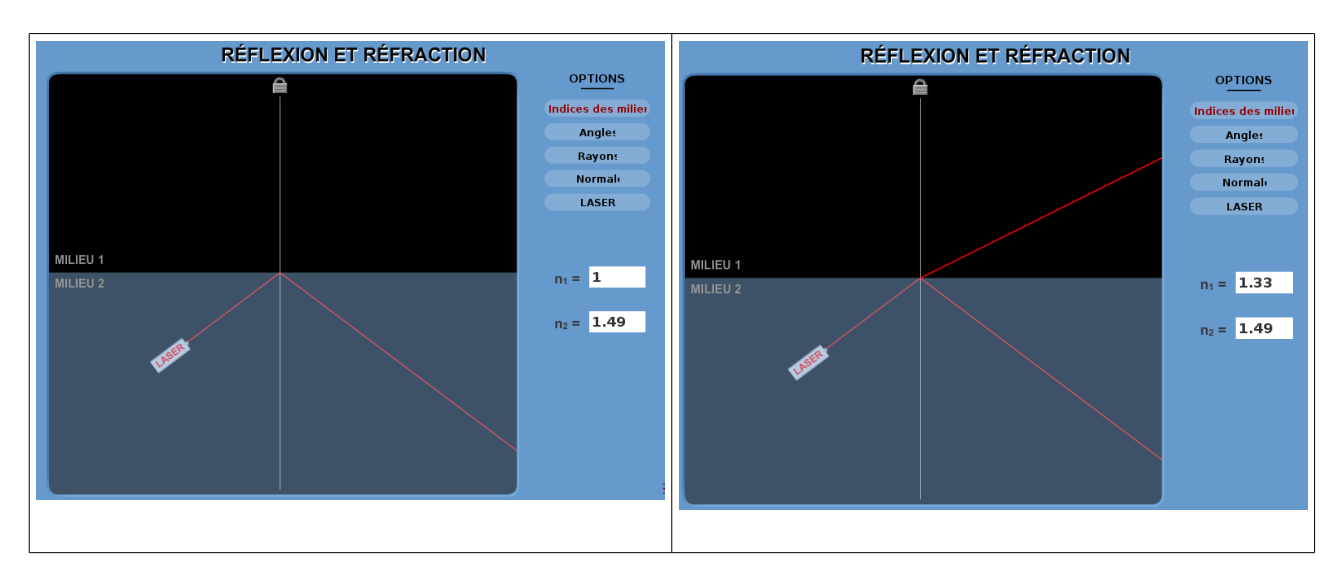
| 1  | ı      | 1                |         | 1       | 1 1     | 1               | 1              | 1              | 1          | ı       |
|----|--------|------------------|---------|---------|---------|-----------------|----------------|----------------|------------|---------|
| 2  |        |                  |         |         | Eti     | ude de la réfra | ction sur le d | diontre (nlevi | alas-air)  |         |
| 3  |        |                  |         |         | sin(i1) | de de la lella  | iction surie   | aloptie (piexi | gias-aii j |         |
| 4  | plexi  | air              |         |         | 1,000   |                 |                |                |            |         |
| 5  | i1 (°) | i2 (°)           | sin(i1) | sin(i2) |         |                 |                |                |            |         |
| 6  | 0      | 0                | 0,000   | 0,000   | 0,900   |                 |                |                |            |         |
| 7  | 5      | 9                | 0,087   | 0,156   |         |                 |                |                |            |         |
| 8  | 10     | 15,5             | 0,174   | 0,267   | 0,800   |                 |                |                |            |         |
| 9  | 15     | 22,5             | 0,259   | 0,383   |         |                 |                |                |            |         |
| 10 | 20     | 30,5             | 0,342   | 0,508   | 0,700   |                 |                |                |            |         |
| 11 | 25     | 39,5             | 0,423   | 0,636   |         |                 |                |                |            | •       |
| 12 | 30     | 48,5             | 0,500   | 0,749   | 0,600   |                 |                |                | _          |         |
| 13 | 35     | 59               | 0,574   | 0,857   | -,      |                 |                |                | •          |         |
| 14 | 40     | 75               | 0,643   | 0,966   | 0,500   |                 |                |                |            |         |
| 15 | 42     | 90               | 0,669   | 1,000   | 0,300   |                 |                | _              |            |         |
| 16 | 45     | réflexion totale |         |         | 0.400   |                 |                |                |            |         |
| 17 | 50     | réflexion totale |         |         | 0,400   |                 |                |                |            |         |
| 18 | 55     | réflexion totale |         |         |         |                 | •              |                |            |         |
| 19 | 60     | réflexion totale |         |         | 0,300   |                 |                |                |            |         |
| 20 | 65     | réflexion totale |         |         |         | ٠ '             | <b>'</b>       |                |            |         |
| 21 | 70     | réflexion totale |         |         | 0,200   |                 |                |                |            |         |
| 22 | 75     | réflexion totale |         |         |         |                 |                |                |            |         |
| 23 | 80     | réflexion totale |         |         | 0,100   |                 |                |                |            |         |
| 24 |        |                  |         |         |         |                 |                |                |            | sin(i2) |
| 25 |        |                  |         |         | 0,000   |                 |                |                |            | 511(12) |
| 26 |        |                  |         |         | 0,000   | 0,200 0         | ,400 0,        | 600 0,         | 800 1,     | 000 1,2 |
| 27 |        |                  |         |         |         |                 |                |                |            |         |

 $\rightarrow$  On aura la réflexion totale sur le dioptre plexiglas-air pour un angle d'incidence supérieur à 42°

#### 4- Modélisation du dioptre plexiglas-eau

animation Descartes d'Adrien Willm (www.ostralo.net):

- → Dans un premier temps on vérifie que le logiciel de simulation proposé fonctionne bien en comparant les résultats qu'il donne avec ceux que l'on a obtenus expérimentalement. On se replace bien sûr dans le cas de la séparation air-plexiglas.
- → Les résultats étant compatibles, on a <u>décidé de faire confiance au logiciel pour</u> <u>simuler le dioptre plexiglas-eau</u> qui n'est pas facile à réaliser expérimentalement :
- → trouver les limites de fonctionnement du dispositif pour avoir :
  - la réflexion totale lorsqu'il n'y a pas d'eau sur le plexiglas
  - la réfraction lorsqu'il y a de l'eau dessus.

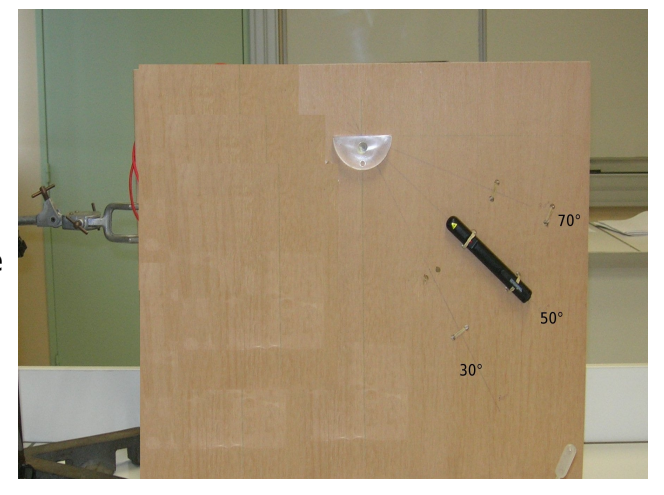


On trouve alors que l'angle d'incidence doit être compris entre 42° et 60°.

#### 6- Réalisation du dispositif optique

Matériel par paillasse: le demi-cylindre du coffret d'optique; un stylo laser; une plaque de bois percée; des élastiques + des allumettes (à l'arrière de la plaque) pour fixer le stylo laser: cela permet de le déplacer facilement sur les trois directions notées. On peut maintenir le bouton-poussoir du laser enfoncé grâce aux élastiques.

Le faisceau doit être bien centré sur le milieu du demi-cylindre (tenu dans son trou avec de la patafix).



Une goutte d'eau est déposée sur le point d'impact du faisceau. On constate que l'angle 50° convient : réflexion totale sans eau et réfraction avec la goutte d'eau, ce qui est conforme aux prévisions).

Il faut maintenant détecter le faisceau laser

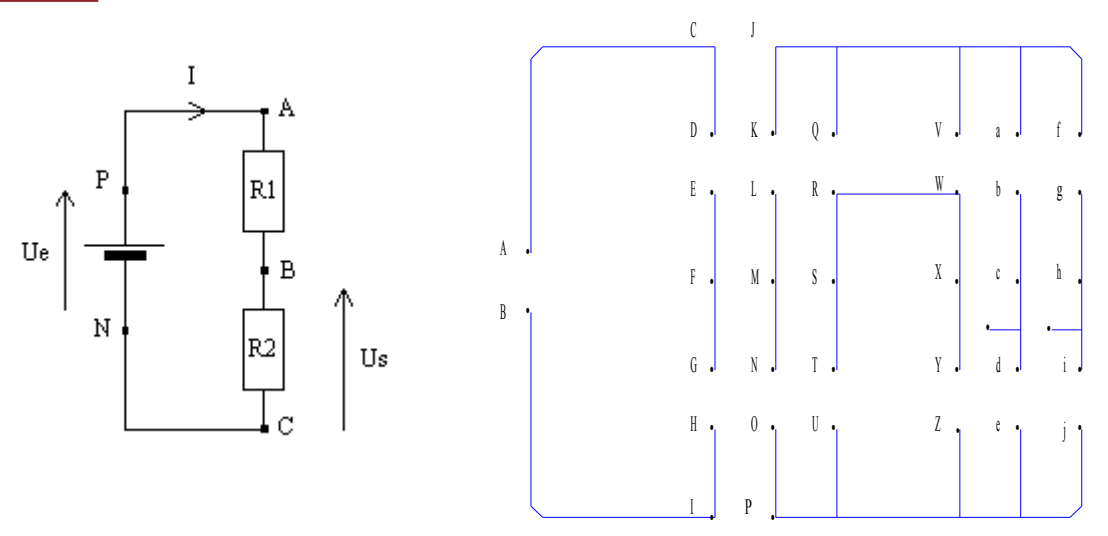
#### 7- Etude d'une LDR

On constate à l'ohmmètre que ce composant a sa résistance qui varie avec la luminosité ; on observe le sens de cette variation

#### 8- Réalisation du montage final

## Le montage " Essuie-glace automatique "

<u>Transformer une valeur de résistance en une valeur de tension : le montage diviseur de tension :</u>



Réaliser le montage en prenant pour  $R_1=4.7~k\Omega$  et pour  $R_2=2.7~k\Omega$ . Régler le générateur pour avoir une tension d'entrée  $U_e=6.0~V$ . Quel appareil de mesure faut-il ajouter pour pouvoir mesurer la tension de sortie  $U_s$  du diviseur de tension.

1- Prendre successivement pour  $R_2$  les valeurs listées dans le tableau ci dessous et mesurer à chaque fois la valeur de la tension de sortie  $U_s$  du diviseur de tension :

| $R_2$              | 2,7 kΩ | 1 kΩ | 680 Ω | 220 Ω |
|--------------------|--------|------|-------|-------|
| U <sub>s</sub> (V) |        |      |       |       |

2- Que constate-t-on?

3- Une étude théorique du montage diviseur de tension montre que la tension de sortie a pour expression :

$$U_{s} = U_{e} \cdot \frac{R_{2}}{(R_{1} + R_{2})}$$

4- Vérifier cette relation sur l'une des quatre mesures réalisées :

5- Si on remplace la résistance R<sub>2</sub> par une LDR, que va faire la tension de sortie U<sub>s</sub> lorsque l'intensité lumineuse qui arrive sur la LDR diminue ? Justifier la réponse.

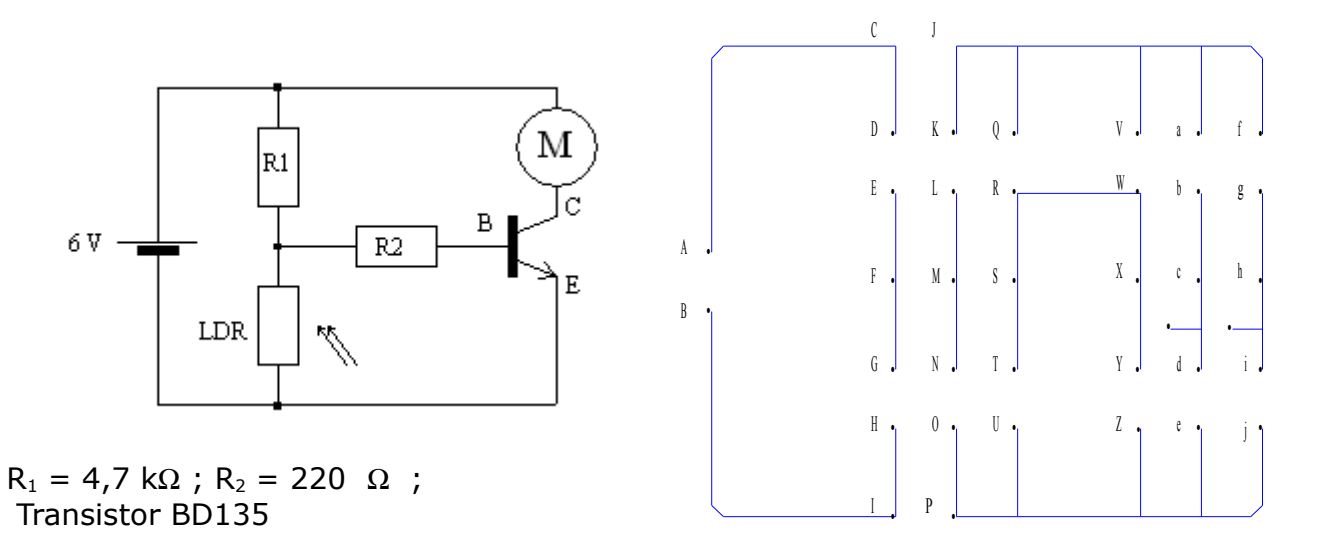
Remplacer R<sub>2</sub> par la LDR et vérifier votre hypothèse.

Activation du moteur : utilisation d'un transistor :

Le transistor : c'est comme un robinet !

| Robinet  | Transistor   |  |  |
|--|--|--|--|
| B: le bouton C: la canalisation E: l'écoulement  | B: la base C: le collecteur E: l'émetteur  |  |  |
| Une action sur le bouton B permet le passage de l'eau, de la canalisation vers l'écoulement. Plus on tourne le bouton et plus l'eau s'écoule | Une action sur la base B (passage d'un petit courant) permet le passage d'un courant important du collecteur vers l'émetteur. Plus l'action sur la base est grande et plus l'intensité du courant est grande |  |  |
| Mais l'action sur le bouton doit être assez forte sinon le robinet ne s'ouvre pas  | Mais l'action sur la base doit être<br>suffisante pour que le courant passe de C<br>vers E   |  |  |
| Une action trop importante ne sert à rien : quand l'ouverture est à son maximum, le débit n'augmente plus                                    | Une action trop forte sur la base ne fait<br>plus augmenter l'intensité du courant : le<br>transistor est alors saturé   |  |  |

Pour commander la mise en route ou l'arrêt du moteur, on pourra réaliser le montage suivant :

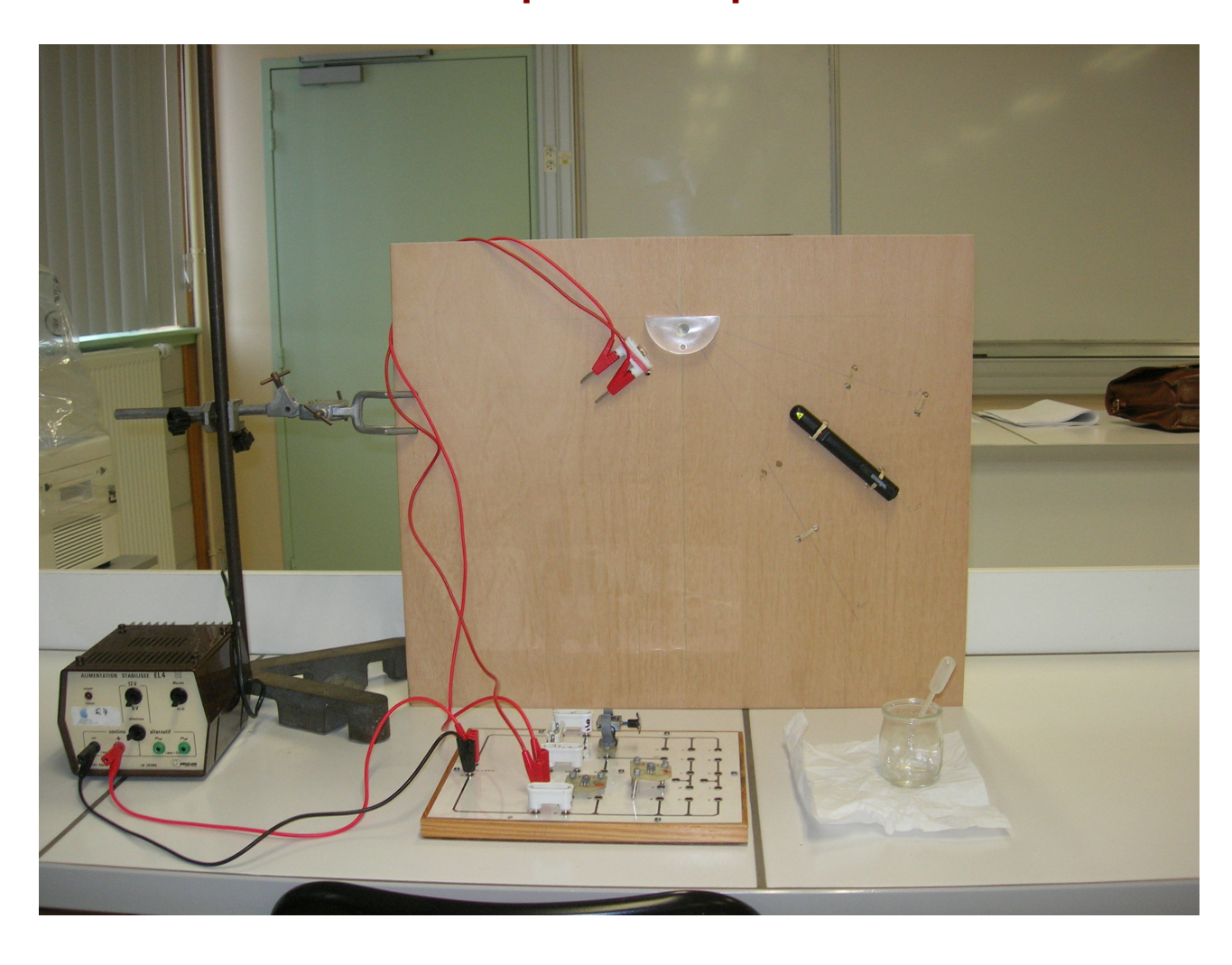


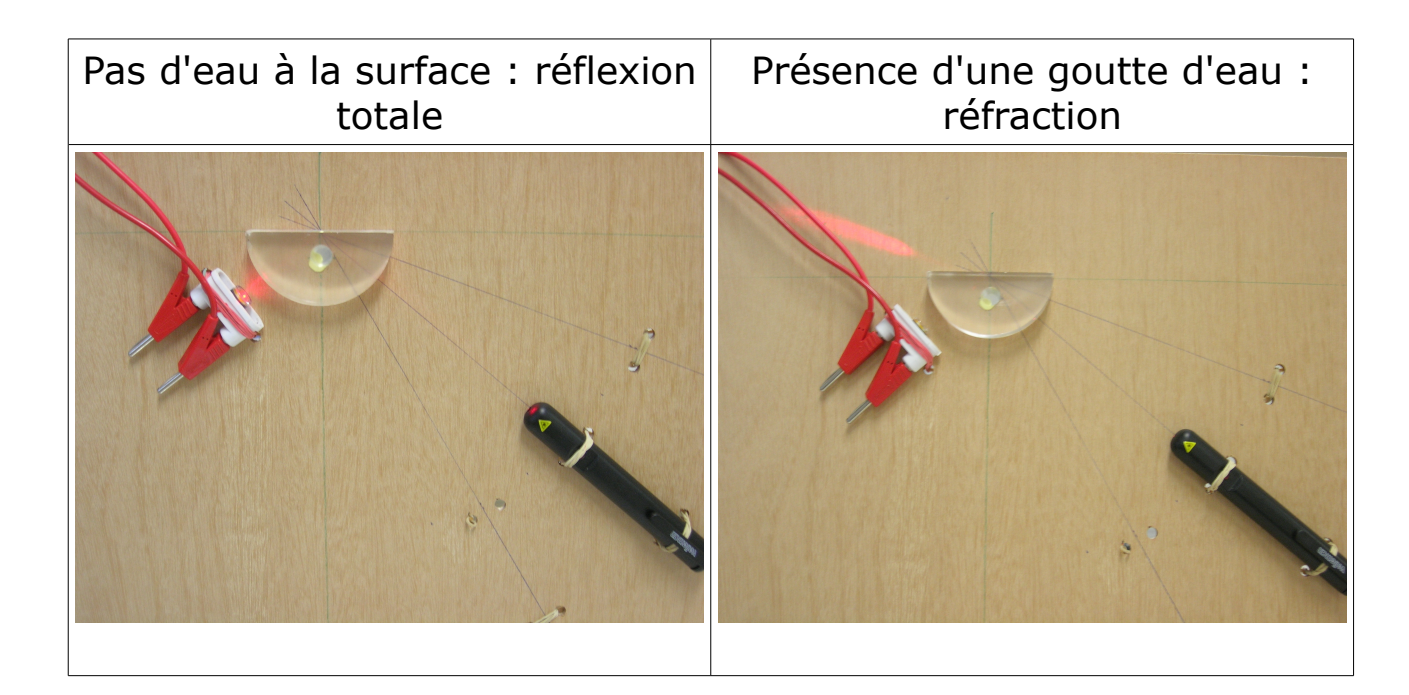
Que fait le moteur :

- quand le faisceau laser arrive sur la LDR :
- quand le faisceau laser n'arrive pas sur la LDR :

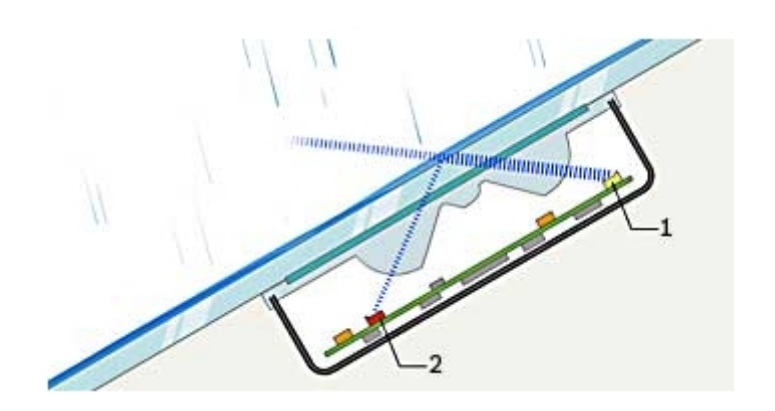
On passe ensuite à l'assemblage final du dispositif.

# Le dispositif complet :





Un exemple de détecteur de pluie sur pare-brise (source : Bosch):



## Le pointeur Laser utilisé :



#### Descriptif

• Modèle MP-1000 1 mW - Classe II

· Longueur d'onde : 650 nm

• Format "STYLO"

· Boîtier en ABS noir.

• Diamètre du faisceau : 8 mm à 5 m

Fourni avec 2 piles AAA (R3).

Dim. : Ø 18 x 138 mm
 Poids : 24 g (sans pile)

• Portée : 200 m.

Disponible chez Selectronic (<u>www.selectronic.fr</u>) : intérêt de ce modèle : il est alimenté par deux piles baton 1,5V format AAA (plus économiques que les piles bouton que l'on trouve dans beaucoup de pointeurs laser)